

□ 원 저 □

## 결핵환자에서 말초혈액과 흉막액내 $\gamma\delta$ T 림프구의 의의

연세대학교 원주의과대학 내과학교실

송광선, 신계철, 김도훈, 홍애라, 김희선, 용석중

=Abstract=

The Clinical Significance of  $\gamma\delta$  T lymphocytes in patients with pleural tuberculosis

**Kwang Seon Song,M.D., Kye Chul Shin,M.D., Do Hun Kim,M.D., Ae Ra Hong,M.D.**  
**Hee Seon Kim,M.D., Suk Joong Yong,M.D.**

*Department of Internal Medicine, Yonsei University Wonju College of Medicine, Wonju, Korea*

**Background :** The changes of the composition in the T-lymphocyte are important as an immunological abnormality in the pathogenesis of tuberculosis. Previously, the second type of TCR dimer( $\gamma\delta$  T lymphocyte) that did not express CD4 or CD8 molecules was found. In other reports the presence of this type of lymphocytes was increased in the initial stage of tuberculous infections.

**Method :** To determine whether there are some differences in the T-lymphocyte subsets in the peripheral blood or pleural effusion between pleural tuberculosis and other pleurisy. Thirty patients with pleural effusion among the forty-nine patients were examined T-lymphocyte subset analysis(CD4+T-cell,CD8+ T-cell, $\gamma\delta$  T-lymphocytes) with anti-Leu4, anti-Leu3a, anti-Leu2a, anti HLA-DR and anti-TCR- $\gamma\delta$ -1(Becton & Dickinson Co.).

**Results :** The average age of the patients was 50 years old(17-81year). There were 33 males and 16 female patients. Patients with tuberculosis are 30cases(tuberculous pleurisy 15), lung cancer 12cases(malignant effusion 9) and pneumonia 7cases(parapneumonic effusion 6cases) In T lymphocyte subsets of pleural effusion, helper T lymphocyte(54.6 + 13.8 %) of tuberculous pleurisy was higher than that(36.2 + 25.3 %) of non-tuberculous pleurisy(p= 0.04). The peripheral blood  $\gamma\delta$  T-lymphocytes in tuberculous was insignificantly higher than non-tuberculous patients(p= 0.24). The peripheral blood  $\gamma\delta$  T-lymphocytes and pleural  $\gamma\delta$  T-lymphocytes in tuberculous pleurisy was insignificantly higher than in non-tuberculous pleurisy(p= 0.16, p= 0.12).

---

본 논문의 요지는 1995년 11월 24일 제 81차 대한결핵 및 호흡기학회 추계학술대회에 발표되었고 그동안 새로운 증례를 추가하였습니다.

**Conclusion :** The percentage of  $\gamma\delta$  T lymphocytes among the total T-lymphocytes is not significantly increased in the peripheral blood or pleural effusion of the pleural tuberculosis.  $\gamma\delta$  T lymphocytes is less useful as a diagnostic method of pleural tuberculosis. ☐

**Key Word :**  $\gamma\delta$  T lymphocytes, Pleural effusion, Tuberculosis, Lung cancer

## 서 론

결핵균 감염시 세포성 면역이 활성화되는 바, 이중 대식세포에서 항원을 인식받은 T 림프구가 활성화되어 면역반응을 일으킨다. 이들의 활성화를 나타내는 지표들, 즉 T 림프구의 분화와 증식을 반영하는 Adenosine Deaminase(이하 ADA로 약 함) 및 T 림프구의 활성화와 분화에 관련된 가용성 Interleukin-2 수용체의 측정이 결핵의 감별진단 및 치료효과를 예측하는데 이용되고 있다<sup>1-4)</sup>. 그러나 이들 간접적인 지표들보다는 림프구의 변화를 직접 연구하는 것이 결핵의 병태생리를 이해하고 진단하는데 더 유용하리라 생각된다.

정상적인 세포성 면역반응을 가진 사람의 경우는 질환의 발생을 억제할 수 있어, 세포성 면역의 저하는 결핵의 병태생리에 중요한 원인으로 생각되고 있다. 그동안에는 조력 T 림프구와 억제 T 림프구 사이의 불균형이 강조되어 왔으나 일부에서는 이들의 불균형이 관찰되지 않아 다른 종류의 림프구에 대한 연구가 진행되었다<sup>5-7)</sup>. 이들 림프구는 수용체(receptor)를 통하여 항원을 인지하여 증식 및 활성화되는 것으로 알려져 있고, 이를 수용체에는 조력 T 림프구와 억제 T 림프구에 존재하는  $\alpha\beta$  수용체와 최근 알려진  $\gamma\delta$  수용체가 있으며,  $\gamma\delta$  수용체를 가진 림프구(CD3<sup>+</sup>CD4 CD8<sup>-</sup> T-cell)는 결핵균 감염의 초기에 제 2형 주요 조직적합성 복합체(MHC class II)의 인식없이 결핵균 항원에 반응하여 세포성 면역반응을 나타냄이 보고되었다<sup>8,9)</sup>.

이에 연구자들은 폐결핵환자와 결핵성 흉막염

환자, 그리고 다른 원인의 흉막염 환자사이에 T 림프구의 조성과  $\gamma\delta$  T-лим프구 수의 차이를 관찰하여 결핵의 병태생리를 이해하고 진단하는데 유용한지를 보고자 하였다.

## 대상 및 방법

### 1. 대상

대상은 폐결핵환자 30예(이중 결핵성 흉막염환자 15예), 폐암 환자 12예(이중 악성 흉막염 환자 9예), 폐렴 7예(이중 폐렴성 흉막염 6예)등 모두 49예였다. 남자는 33예, 여자는 16예이었고 평균 연령은 50세(17세-81세)이었다(Table 1). 폐결핵 및 결핵성 흉막염의 진단은 임상 증세와 방사선학적 소견이 있으며, 결핵균의 세균학적 증명(도말 및 배양검사)이 된 경우와 결핵성 병리소견을 보인 경우 그리고 임상적 진단 후 항결핵제로 호전된 경우로 하였다. 폐암 및 악성 흉막염은 조직생검과 흉막액의 세포진 검사로 확진하였다. 질병의 이환기간은 질환의 발전에서 부터 본 검사 시행 때까지 기간으로 하였다.

Table 1. Groups and Characteristics of patients

Groups	Cases
Tuberculosis	30 (Tuberculous effusion: 15)
Lung cancer	12 (Malignant effusion: 9)
Pneumonia	7 (Parapneumonic effusion: 6)
Age	50 (17-81)
Male : Female	33 : 16

## 2. 방법

혈청 ADA(adenosine deaminase) 활성도는 Ooath-uizen 등<sup>10)</sup>의 방법을 이용하여 Hitachi 747 자동화 학분석기(Hitachi, Tokyo, Japan)에서 측정하였다<sup>11)</sup>. T 세포 림프구 아형의 분류는 전혈 및 흉막액 100ul를 실온에서 15분 보관한 뒤 Ficoll Hypaque를 이용하지 않고 lysed whole blood method<sup>12)</sup>로 2ml의 용해 용액(diethylene glycol, formaldehyde)을 넣어 약 5분간 원심분리하여 상층액을 제거한 뒤 3ml의 버퍼용액(phosphate buffered saline)을 넣고 다시 원심분리후 얻은 세포들을 anti-Leu4, anti-Leu3a, anti-Leu2a, anti HLA-DR 그리고 anti-TCR-γδ-1(Becton & Dickinson Co.)를 이용하여 flow cytometer(FACscan<sup>R</sup>, Becton & Dickinson Co.)로 분석하였다.

통계 분석은 SPSS통계프로그램을 이용하였으며, 양성군과 음성군간의 결과 비교는 student's T-test와  $\chi^2$  검정 그리고 Mann-Whitney Wilcoxon rank test를 이용하였다.

## 결 과

1. 말초혈액내 T 세포 림프구 아형중 CD4 림프구는 결핵군(29예)  $28.6 \pm 8.16\%$ , 비결핵군(14예)  $28.2 \pm 13.0\%$ (폐암군  $21.7 \pm 6.09\%$ , 폐렴군  $39.5 \pm 15.0\%$ )로 유의한 차이는 없었다( $p=0.90$ ). γδ-T 림프

구의 평균치는  $4.8 \pm 4.6\%$  였고, 결핵군(29예)  $5.5 \pm 4.5\%$ , 비결핵군(14예)  $3.3 \pm 2.9\%$ (폐암군  $4.0 \pm 3.2\%$ , 폐렴군  $2.2 \pm 1.6\%$ )로 결핵군에서 더 높았으나 유의한 차이는 없었다( $p=0.24$ ). 전체 T 림프 구중 γδ-T 림프구의 비(%)도 결핵군(24예)은  $10.5 \pm 11\%$ , 비결핵군(11예)  $6.6 \pm 4.9\%$ 으로 유의한 차이는 없었다( $p=0.27$ ). γδ-T 림프구의 증가가 질환 초기에 더 뚜렷할 수 있으므로 이환기간 1개월 이내의 환자를 분류하였으나 결핵군(20예)  $6.4 \pm 6.6\%$ , 비결핵군(14예)  $3.3 \pm 2.9\%$ 으로 유의한 차이는 없었다( $p=0.16$ ). 결핵 환자중에서 이환기간이 1개월이내 환자는  $6.4 \pm 6.6\%$ , 1개월 이상의 환자군은  $3.5 \pm 1.8\%$  이었다( $p=0.24$ )(Table 2).

2. 흉막액내 T 세포 림프구 아형중 CD4 림프구는 결핵성 흉막액에서는  $54.6 \pm 13.8\%$ , 비결핵성 흉막액에서는  $36.2 \pm 25.3\%$ (악성 흉막액  $38.4 \pm 23.8\%$ , 폐렴성 흉막액  $30.1 \pm 34.0\%$ ) 결핵성 흉막액에서 의의있게 높았으며( $p=0.04$ )(Fig. 1), 흉막액 CD4 림프구/말초혈액내 CD4 림프구 비는 각각  $2.0 \pm 0.6$ ,  $1.3 \pm 1.1$ 로 유의한 차이가 없었다( $p=0.16$ )(Table 3).

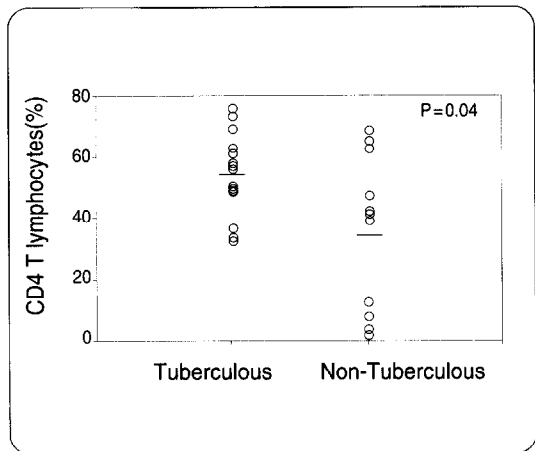
3. 흉막염이 있던 환자에서 말초혈액내 γδ-T 림프구는 결핵성 흉막염군(14예)이  $7.0 \pm 9.0\%$ , 비결핵성 흉막염군(11예)  $3.0 \pm 2.0\%$  (악성 흉막염군  $3.1 \pm 2.2\%$ , 폐렴성 흉막염군  $2.7 \pm 1.7\%$ )로 결핵성 흉막염군에서 높았으나 통계적 의의는 없었다 ( $p=0.16$ ).

Table 2. CD4+ lymphocytes and γδ T-lymphocytes in peripheral blood of each groups

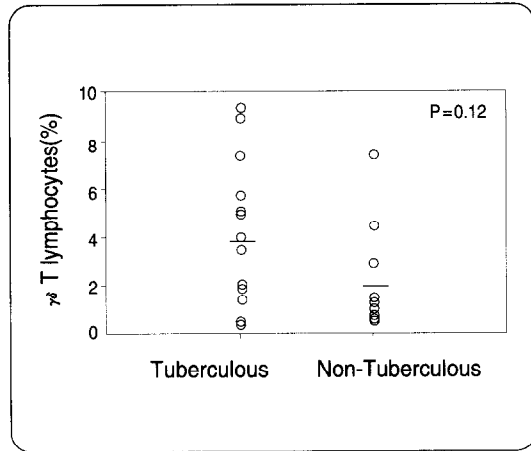
Group	Tuberculosis	Lung cancer	Pneumonia
CD4+(%)	$28.6 \pm 8.16^*$	$21.7 \pm 6.19$	$39.5 \pm 15.0$
γδ T-lymphocytes(%)	$5.52 \pm 4.54$	$4.04 \pm 3.25$	$2.21 \pm 1.65$
γδ T/ T-lym.*(%)	$10.0 \pm 11.2$	$8.0 \pm 5.0$	$4.0 \pm 2.6$

\* : mean  $\pm$  SD

\* : γδ T-lymphocytes / total T-lymphocytes



**Fig. 1.** CD4 T lymphocytes in pleural effusion of tuberculous pleurisy and non-tuberculous pleurisy



**Fig. 2.** gamma-delta T lymphocytes in pleural effusion of tuberculous pleurisy and non-tuberculous pleurisy

**Table 3.** CD4+ lymphocytes and gamma-delta T-lymphocytes in effusion groups

Group	Tuberculous effusion	Malignant effusion	Parapneumonic effusion
CD4+(effusion)	54.6 ± 13.8*	38.4 ± 23.8*	30.1 ± 34.0
gamma-delta T-lym.(blood)	7.01 ± 6.01	3.14 ± 2.23	2.78 ± 1.71
gamma-delta T-lym.(effusion)	3.92 ± 2.92	2.08 ± 2.52	2.40 ± 1.75

\* : 다른 두군과 비교하여 p value < 0.05 의 통계적으로 유의한 차이를 보인 수치임.

+ : mean ± SD

말초혈액내 전체 T 림프구중 gamma-delta-T 림프구의 비(%) 도 결핵군  $16.2 \pm 16.8\%$ , 비결핵군  $6.0 \pm 4.2\%$  로 차이는 없었다( $p=0.11$ ).

4. 흉막액내 gamma-delta-T 림프구는 결핵성 흉막염군(15예)이  $3.9 \pm 2.9\%$ , 비결핵성 흉막염군(10예)  $2.1 \pm 2.2\%$ (악성 흉막염군  $2.0 \pm 2.5\%$ , 폐렴성 흉막염군  $2.4 \pm 1.7\%$ )로 유의한 차이가 없었다( $p=0.12$ ) (Table 3)(Fig. 2). 또한 말초혈액에 대한 흉막액내 gamma-delta-T 림프구의 비는 결핵군(9예)이  $0.97 \pm 1.3\%$ , 비결핵군(4예)  $2.1 \pm 2.0\%$ 로 나타났으나 예가 적어 통계의 의미가 없었다.

5. 이상과 같이 결핵군과 비결핵군 사이의 말초혈액 및 흉막액내 gamma-delta-T 림프구수는 차이가 없어 진단에 도움이 되지않는다. 환자의 연령이나 성별과 말초혈액내 gamma-delta-T 림프구수와는 상관관계가 없었고, 폐결핵 환자에서 병변의 정도, 혈청 및 흉막액내 ADA와 gamma-delta-T 림프구수와도 상관관계가 없었다.

## 고 찰

T 림프구에 의한 항원의 인식은 T-cell receptor (이하 TCRs라고함)를 통해서 이루어진다. T 림프

구의 대부분은  $\alpha\beta$  chain의 TCRs을 갖으나, 일부 T 림프구는  $\gamma\delta$  chain를 갖는다. 이들  $\gamma\delta$  T 림프구의 역할에 대하여는 아직 확실히 밝혀지지는 않았으나 Mycobacteria 감염시 그 초기에 면역반응에 관여하는 것으로 알려져 있다<sup>9,13,14)</sup>. 그동안 Janis 등<sup>13)</sup>, OBrien 등<sup>14)</sup>, Augustin 등<sup>9)</sup>에 의하여 동물실험에서 결핵의 감염초기에  $\gamma\delta$  T 림프구 세포의 증가가 보고된 바 있다. 인체에서 결핵균 항원에 대한  $\gamma\delta$  T 림프구 세포의 반응뿐아니라<sup>15,16)</sup> nontuberculous mycobacteria에 대한  $\gamma\delta$  T 림프구 세포의 증가도 보고되었고<sup>17)</sup>, mycobacteum이외의 감염에서도 보고된 바 있다<sup>18)</sup>.  $\gamma\delta$  T 림프구는 heat shock protein에 반응하여 TNF- $\alpha$ 를 생산함으로써 대식세포의 이동과 증식 및 응집을 유도하여 육아종(granuloma)형성에 관여하고<sup>19)</sup>, 또한 이들은 IL-2와 interferon gamma(IFN- $\gamma$ )를 분비하여 대식세포의 활성화와 결핵균의 제거에 관여한다<sup>20)</sup>.

Orme<sup>21)</sup>에 의하면 T 림프구아형중 조력 T 림프구가 감염 초기에 증가하여 20-30 일에 최고에 달하고 40일 이후부터는 감소하는 경향을 보였으며, 억제 T 림프구는 약 80일에 최고로 증가하였다.  $\gamma\delta$  T 림프구 세포의 증가는 결핵균 감염의 초기에 일어나는데 Janis 등<sup>13)</sup>과 Inoue 등<sup>22)</sup>에 의하면 결핵균 투여후 약 3주까지 일어난다고 한다. 임상연구에서는 보고자마다 달라서, 결핵 감염 환자의 말초혈액내  $\gamma\delta$  T 림프구수의 변화에 대한 보고는 Ito 등<sup>23)</sup>의 증가한다는 보고가 있는가 하면 증가하지 않는다는 보고도 있다<sup>19,24)</sup>. 이러한 차이는 감염부위의 차이, 림프구가 병변내로 이동하는 분획화, 또는 감염후 검사시기의 차이 때문일 수 있다. 본 연구에서는 결핵군에서 비결핵군보다 유의한 차이가 없었으며, 질환의 이환기간이 짧은 비교적 초기의 결핵환자에서 좀더 차이를 보였으나 의의는 없었다( $p=0.16$ ).

결핵균에 감염시 세포성 면역 반응의 역할은

중요하며, 억제 T 림프구가 아닌 조력 T 림프구가 결핵균 감염에 대하여 효과적이이 보고되었다<sup>25)</sup>. 결핵성 흉막염 환자의 말초혈액내 총 림프구 및 조력 T 림프구 수는 감소하고 흉막액내에서는 이들이 상대적으로 증가한다고 알려져 있다<sup>26,27)</sup>. 이것은 조력 T 림프구가 병변인 흉막강내로 이동하였기 때문으로 설명되고 있으며<sup>28)</sup>, 혈액내 억제 T 림프구가 증가하고 그것에서 억제인자가 분비되어 말초혈액내 조력 T 림프구는 감소되고, 병변부 위에서는 이곳으로 이동된 소수의 조력 T 림프구들이 항원에 의하여 세포군집팽창(clonal expansion)함으로써 증가하는 것으로 보고하였다<sup>29)</sup>. 본 연구에서도 결핵성 흉막액내 조력 T 림프구 수는 상대적 증가를 보였다( $p=0.04$ ).

$\gamma\delta$  T 림프구에서도 같은 면역병리 소견이 예상되나 림프절에서  $\gamma\delta$  T 림프구의 증가가 보고<sup>30)</sup>된 반면, 흉막액 검사에서는  $\gamma\delta$  T 림프구의 증가가 관찰되지 않았었다<sup>31)</sup>. 본 연구에서도 결핵성 흉막액내  $\gamma\delta$  T 림프구수의 유의한 차이는 없었다( $p=0.12$ ). 결핵 감염부위의  $\gamma\delta$  T 림프구수 변화에 대한 결과가 서로 다른 이유는 이미 언급한대로 검체 획득의 시기와 병변으로부터의 정확한 세포의 추출이 중요하기 때문으로 생각된다. Barnes 등<sup>19)</sup>에 의하면 경증 결핵이나 결핵성 흉막염 환자에서는 중증 결핵이나 속립성 결핵처럼 면역기능이 감소된 환자에서 보다  $\gamma\delta$  T 림프구수 및 백분율이 높다고 한다. 즉 결핵균에 대한 방어적 면역 기능을 일부 담당하는  $\gamma\delta$  T 림프구의 기능약화는 결핵의 악화를 초래할 수 있을 것이다. 이들의 역할을 좀더 명확하게 하기 위해서는 초기 질환자를 대상으로 추가연구가 필요할 것이다.

말초혈액내 림프구 아형의 변화는 흡연, 연령, 성별, 투약, 영양상태 등에 의하여 영향을 받을 수 있다<sup>32)</sup>. 그러나 본 연구에서 이들에 따른  $\gamma\delta$  T 림프구의 차이가 관찰되지 않았다.

## 요 약

**연구배경 :** 최근 알려진  $\gamma\delta$  수용체는 결핵균 감염의 초기에 제2형 주요 조직적합성 복합체(MHC class II)의 인식없이 결핵균 항원에 반응하여 세포성 면역반응을 나타냄이 보고되었다.

이에 연구자들은 폐결핵환자와 결핵성 흉막염 환자, 그리고 다른 원인의 흉막염 환자사이에 T 림프구의 조성과  $\gamma\delta$  T-лим프구 수의 차이를 관찰하였다.

**방법 :** 대상은 폐결핵환자 30예(이중 결핵성 흉막염환자 15예), 폐암 환자 12예(이중 악성 흉막염 환자 9예), 폐렴 7예(이중 폐렴성 흉막염 6예) 등 모두 49예였다. 혈청 ADA(adenosine deaminase) 활성도는 Hitachi 747 자동화학분석기에서 측정하였다. T 세포 림프구 아형의 분류는 lysed whole blood method로 anti-Leu4, anti-Leu3a, anti-Leu2a, anti HLA-DR 그리고 anti-TCR- $\gamma\delta$ -1를 이용하여 flow cytometer로 분석하였다.

**결과 :** 1. 말초혈액내  $\gamma\delta$ -T 림프구의 평균치는  $4.8 \pm 4.6\%$  였고, 결핵군(29예)  $5.5 \pm 4.5\%$ , 비결핵군(14예)  $3.3 \pm 2.9\%$ (폐암군  $4.0 \pm 3.2\%$ , 폐렴군  $2.2 \pm 1.6\%$ )로 유의한 차이는 없었다( $p=0.24$ ). 질병의 이환기간 1개월 이내의 환자중에서도 결핵군(20예)  $6.4 \pm 6.6\%$ , 비결핵군(14예)  $3.3 \pm 2.9\%$  으로 유의한 차이는 없었다( $p=0.16$ )(Table 1).

2. 흉막액내 T 세포 림프구 아형중 CD4 림프구는 결핵성 흉막액에서는  $54.6 \pm 13.8\%$ , 비결핵성 흉막액에서는  $36.2 \pm 25.3\%$ (악성 흉막액  $38.4 \pm 23.8\%$ , 폐렴성 흉막액  $30.1 \pm 34.0\%$ ) 결핵성 흉막액에서 의의있게 높았다( $p=0.04$ )(Table 2).

3. 흉막염이 있던 환자에서 말초혈액내  $\gamma\delta$ -T 림프구는 결핵성 흉막염군(14예)이  $7.0 \pm 9.0\%$ , 비결핵성 흉막염군(11예)  $3.0 \pm 2.0\%$  (악성 흉막염군  $3.1 \pm 2.2\%$ , 폐렴성 흉막염군  $2.7 \pm 1.7\%$ )로 차이

는 없었다( $p=0.16$ ). 흉막액내  $\gamma\delta$ -T 림프구는 결핵성 흉막염군(15예)이  $3.9 \pm 2.9\%$ , 비결핵성 흉막염군(10예)  $2.1 \pm 2.2\%$ (악성 흉막염군  $2.0 \pm 2.5\%$ , 폐렴성 흉막염군  $2.4 \pm 1.7\%$ )로 유의한 차이가 없었다( $p=0.12$ ).

4. 환자의 연령이나 성별과 말초혈액내  $\gamma\delta$ -T 림프구수와는 상관관계가 없었고, 폐결핵 환자에서 병변의 정도, 혈청 및 흉막액내 ADA와  $\gamma\delta$ -T 림프구수와도 상관관계가 없었다.

**결론 :** 결핵성 흉막염환자에서 말초혈액 및 흉막액내  $\gamma\delta$ -T 림프구수의 유의한 증가는 없어 다른 질환과의 감별진단에 도움이 되지 못할 것으로 생각되며,  $\gamma\delta$ -T 림프구의 증가는 결핵 초기 환자들을 대상으로 추가 연구가 필요할 것으로 생각된다.

## 참 고 문 현

- 1) Takahashi S, Setoguchi Y, Nukiwa T, Kira S: Soluble interleukin-2 receptor in sera of patients with pulmonary tuberculosis. Chest **99**:310, 1991
- 2) Rubin LA, Kurman CC, Fritz ME: Soluble interleukin 2 receptors are released from activated human lymphoid cells in Vitro. J Immunol **135**:3172, 1985
- 3) 차신웅, 용석중, 박진현, 신계철: 속립성 결핵에서 혈청 ADA활성도의 진단적 의의. 대한내과학회잡지 **38**(1):68, 1990
- 4) Banales JL, Pineda PR, Fitzgerald JM, Rubio H, Selman M, Salazar-Lezama M: Adenosine deaminase in the diagnosis of tuberculous pleural effusions. Chest **99**:355, 1991
- 6) Schimokata K, Kawachi H, Kishimoto H, Maeda F, Ito Y: Local cellular immunity in tuberculous pleurisy. Am Rev Respir Dis **126**:822, 1982

- 7) Ellner JJ: Pleural fluid and peripheral blood lymphocyte function in tuberculosis. Ann Intern Med **89**(6):932, 1978
- 8) Haregewoin A, Soman G, Hom RC, Finberg RW: Human  $\gamma\delta^+$  T cells respond to mycobacterial heat-shock protein. Nature **340**:309, 1989
- 9) Augustin A, Kubo R, Sim GK: Resident pulmonary lymphocytes expressing the  $\gamma\delta$  T-cell receptor. Nature **340**:239, 1989
- 10) Oosthuizen HM, Ungerer JPJ, Bissbort SH: Kinetic determination of serum adenosine deaminase. Clin Chem **39**:2182, 1993
- 11) 류정선, 용석중, 송광선, 신계철, 이원식, 강신구, 어영, 윤갑준: 자동화학분석기를 이용한 흉막액내 ADA 활성치 측정의 유용성에 관한 연구. 결핵 및 호흡기질환 **42**(6):838, 1995
- 12) Renzi P, Ginns LC: Analysis of T cell subsets in normal adults. J Immunol Methods **98**:53, 1987
- 13) Janis EM, Kaufmann SHE, Schwartz RH, Pardoll DM: Activation of  $\gamma\delta$  T cells in the primary immune response to *Mycobacterium tuberculosis*. Science **144**:713, 1989
- 14) OBrien RL, Happ MP, Dallas A, Palmer E, Kubo R, Born WK: Stimulation of a major subset of lymphocytes expressing T cell receptor  $\gamma\delta$  by an antigen derived from *Mycobacterium tuberculosis*. Cell **57**:667, 1989
- 15) Kabelitz D, Bender A, Schondelmaier S, Schoel B, Kaufmann SHE: A large fraction of human peripheral blood  $\gamma\delta^+$  T cells is activated by *Mycobacterium tuberculosis* but not by its 65-kD heat shock protein. J Exp Med **171**:667, 1990
- 16) Tsuyuguchi I, Kawasumi H, Ueta C, Yano I, Kishimoto S: Increase of T-cell receptor  $\gamma\delta$ -bearing T cells in cord blood of newborn babies obtained by in vitro stimulation with mycobacterial cord factor. Infect Immunol **59**:3053, 1991
- 17) Hacker G, Kromer S, Heeg K, Ivanyi J, Wagner H, Pfeffer K: Opportunistic mycobacteria express ligands that stimulate production of human V $\gamma$ 9V $\delta$ 2 T lymphocytes. Infect Immunol **60**:2753, 1992
- 18) Munk ME, Gatrill AJ, Kaufmann SHE: Target cell lysis and IL-2 secretion by  $\gamma\delta$  T lymphocytes after activation with bacteria. J Immunol **145**:2434, 1990
- 19) Barnes PF, Grisso CL, Abrams JS, Band H, Rea TH, Modlin RL:  $\gamma\delta$  T lymphocytes in human tuberculosis. J Infect Dis **165**:506, 1992
- 20) Follows GA, Munk ME, Gatrill AJ, Gatrill AJ, Conradt P, Kaufman SH:  $\gamma$  interferon and interleukin 2, but not interleukin 4, are detectable in  $\gamma\delta$  T-cell cultures after activation with bacteria. Infect Immun **60**:1229, 1992
- 21) Orme IM: The kinetics and loss of mediator T-lymphocytes acquired in response to infection with *Mycobacterium tuberculosis*. J Immunol **138**:293, 1987
- 22) Inoue T, Yoshikai Y, Matsuzaki G, Nomoto K: Early appearing  $\gamma\delta$ -bearing T cells during infection with Calmette Guerin bacillus. J Immunol **146**:2754, 1991
- 23) Ito M, Kojiro N, Ikeda T, Ito T, Funada J, Kokubu T: Increased proportions of peripheral blood  $\gamma\delta$  T cells in patients with pulmonary tuberculosis. Chest **102**:195, 1989
- 24) Tazi A, Bouchonnet F, Valeyre D, Cadanel J,

- Battesti JP, Hance AJ: Characterization of  $\gamma\delta$  T-lymphocytes in the peripheral blood of patients with active tuberculosis. *Am Rev Respir Dis* **146**:1216, 1992
- 25) Thierry P, Katharina H, Jaques AL: Importance of L3T4<sup>+</sup> and Lyt-2<sup>+</sup> cells in the immunologic control of infection with *Mycobacterium bovis* strain Bacillus Calmette-Guerin in mice. *J Immunol* **139**:2032, 1987
- 26) Shiratsuchi H, Tsuyuguchi I: Analysis of T cell subsets by monoclonal antibodies in patients with tuberculosis after in vitro stimulation with purified protein derivative of tuberculin. *Clin Exp Immunol* **57**(2):271, 1984
- 27) Pettersson T, Klockars M, Hellstrom PE, Riska H, Wangel A: T and B lymphocytes in pleural effusions. *Chest* **73**:49, 1978
- 28) Fujiwara H, Okuda Y, Fukukawa T, Tsuyuguchi I: In vitro tuberculin reactivity of lymphocytes from patients with tuberculous pleurisy. *Infect Immunol* **25**:402, 1982
- 29) Rohrbach MS, Williams DE: T lymphocytes and pleural tuberculosis. *Chest* **89**(4):473, 1986
- 30) Falini B, Flenghi L, Pileri S, Pelicci P, Fagioli M, Martelli MF, Moretta L, Ciccone E: Distribution of T cells bearing different forms of the T cell receptor  $\gamma\delta$  in normal and pathological human tissues. *J Immunol* **143**:2480, 1989
- 31) Panchamoorthy G, McLean J, Modlin RL, Morita CT, Ishikawa S, Brenner MB, Band H: A predominance of the T cell receptor V $\gamma$ 2/V $\delta$ 2 subset in human mycobacteria-responsive T cells suggests germline encoded recognition. *J Immunol* **147**:3360, 1991
- 32) Bach MA, Bach JF: Imbalance in T-cell subsets in human diseases. *Int J Immunopharmacol* **3**:269, 1981